

# Transporte quântico em redes fechadas

Iara Lima dos Santos  
iarasantos.cabluelo@gmail.com

Departamento de Física  
Instituto de Ciências Exatas  
Universidade Federal do Amazonas

14 de Agosto de 2019





## Sumário

- 1 Introdução
- 2 Tópicos teóricos
  - Caminhadas aleatórias
  - Grafos
- 3 CTRW - Caminhada aleatória de tempo contínuo
- 4 CTQW - Caminhada quântica em tempo contínuo
- 5 Resultados
  - Rede triangular
  - Probabilidade de retorno - caso clássico
  - Probabilidade de retorno - caso quântico
- 6 Considerações finais
- 7 Bibliografia



## Súmario

### 1 Introdução

### 2 Tópicos teóricos

### 3 CTRW - Caminhada aleatória de tempo contínuo

### 4 CTQW - Caminhada quântica em tempo contínuo

### 5 Resultados

### 6 Considerações finais

### 7 Bibliografia



## Contextualização

Analogamente ao passeio aleatório clássico, tem-se caminhadas quânticas. Elas são interessantes no âmbito da ciência da computação, mas também são estudadas para modelar sistemas quânticos, caracterizar redes, criptografia, e medir o isomorfismo de grafos.

O primeiro algoritmo para computadores quânticos foi o de fatoração de números primos feito por Shor(10), outro com relevância em buscas em bancos de dados é o de Groover(4).

bit

0 ou 1

qubit

$$|\psi\rangle = a|1\rangle + b|0\rangle$$



## Objetivos

### Geral

Comparar caminhada aleatória clássica com a quântica em cadeias do tipo anel através da medida da probabilidade de retorno e da eficiência da rede.

- 1 Entender os métodos de CTQW e CTRW, para obter a ineficiência e probabilidade de retorno de diferentes redes fechadas.
- 2 Obter esses parâmetros para redes anel de 3, 5, 7 e 100 vértices.
- 3 Comparar os resultados para os casos clássico e quântico.



# Súmary

- 1 Introdução
- 2 Tópicos teóricos
  - Caminhadas aleatórias
  - Grafos
- 3 CTRW - Caminhada aleatória de tempo contínuo
- 4 CTQW - Caminhada quântica em tempo contínuo
- 5 Resultados
- 6 Considerações finais
- 7 Bibliografia



## Contribuições

- Robert Brown, 1827.
- Albert Einstein, 1905.

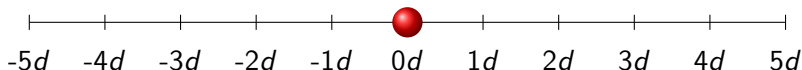
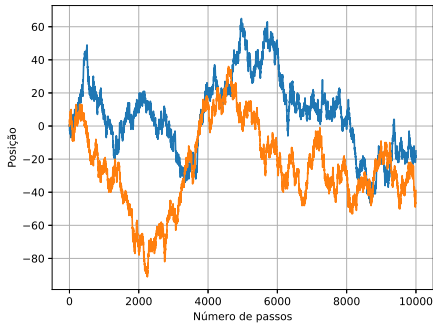


Figura: Representação de caminhada aleatória unidimensional.

## Equação de difusão

$$\frac{\partial \mu}{\partial t} = D \frac{\partial^2 \mu}{\partial x^2}, \quad (1)$$

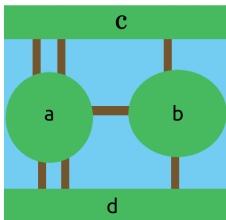


**Figura:** Posição em função do número de passos para dois caminhantes distintos.

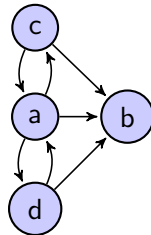




## Problema das pontes de Königsberg



**Figura:** Esquema das sete pontes entre as margens  $c$  e  $d$ , que ligam as ilhas  $a$  e  $b$ .



**Figura:** Grafo que representa o problema das pontes de Königsberg, onde os vértices são as margens e as ilhas e as pontes, são as arestas.



## Definições

### Grafo

Um grafo é o par  $(V, A)$ , onde  $V$  é um conjunto qualquer (vértices) e  $A$  é um subconjunto de  $V^{(2)}$  (arestas).

Se uma grandeza física  $\varphi$  se propaga por um grafo, então a variação no tempo dessa grandeza no nó  $i$  é o quanto é retirado ou colocado nesse nó.

$$\frac{d\varphi_i}{dt} = D \sum_j A_{ij}(\varphi_j - \varphi_i). \quad (2)$$

Onde  $A_{ij}$  é a matriz de adjacência.

$$A_{ij} = \left\{ \begin{array}{ll} 1, & \text{Se existir uma ligação entre os nós } i \text{ e } j \\ 0, & \text{Se não existir} \end{array} \right\}$$



O desenvolvimento da equação 2 leva a:

$$\frac{d\varphi}{dt} = D(\mathbf{A} - \mathbf{D})\varphi \quad (3)$$

Onde  $\mathbf{D}$  é a matriz dos graus.

Note a semelhança entre a equação que expressa a difusão (1) e a equação 3. Essa comparação fez que  $\mathbf{L} \equiv \mathbf{A} - \mathbf{D}$  seja chamada matriz laplaciano. Para resolver a equação é necessário reescrever  $\varphi$  como combinação linear dos autovetores da matriz laplaciano:

$\varphi = \sum_i a_i(t)\mathbf{q}_i$ . Tipo de solução:  $a_i(t) = a_i(0)e^{-D\lambda_i t}$

Introdução

Tópicos teóricos

**CTRW - Caminhada aleatória de tempo contínuo**

CTQW - Caminhada quântica em tempo contínuo

Resultados

Considerações finais

Bibliografia





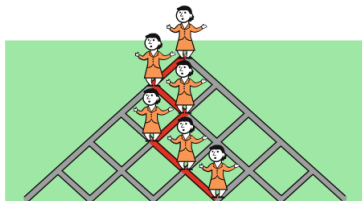
## Súmary

- 1 Introdução
- 2 Tópicos teóricos
- 3 CTRW - Caminhada aleatória de tempo contínuo**
- 4 CTQW - Caminhada quântica em tempo contínuo
- 5 Resultados
- 6 Considerações finais
- 7 Bibliografia

## Caminhada aleatória clássica de tempo contínuo

- Processos Markovianos
- Espaço de estados
- Taxa de transição

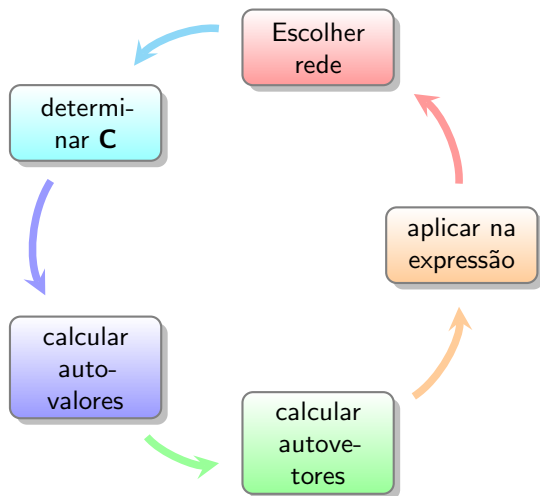
**Figura:** Exemplo de trajeto de caminho tomado por caminhante aleatório.



Fonte: livro Physical Implementations of Quantum Walk, p.2



# Teoria



## Probabilidade de transição

$$p_{ij} = \langle i | e^{-\mathbf{C}t} | j \rangle$$
$$= \sum_n e^{-\lambda_n t} \langle i | q_n \rangle \langle q_n | j \rangle$$

Onde  $\mathbf{C}$  é a matriz de conectividade, ela é  $\mathbf{C} = \gamma \mathbf{L}$ , pra simplificar  $\gamma = 1$ .



## Súmary

- 1 Introdução
- 2 Tópicos teóricos
- 3 CTRW - Caminhada aleatória de tempo contínuo
- 4 CTQW - Caminhada quântica em tempo contínuo**
- 5 Resultados
- 6 Considerações finais
- 7 Bibliografia



## Caminhada quântica de tempo contínuo

- Espaço de estados é o N-dimensional de Hilbert
- Superposição de estados

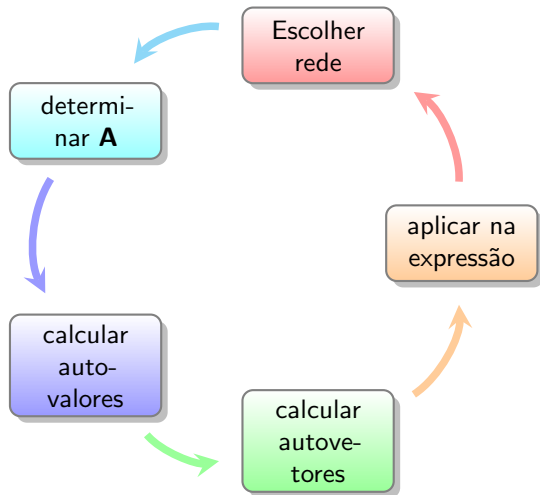
Figura: Ilustração de caminhada quântica.



Fonte: livro Physical Implementations of Quantum Walk, p.3



# Teoria



## Probabilidade de transição

$$\pi_{jk} \equiv |\alpha_{jk}(t)|^2 =$$

$$\left| \sum_n e^{-itE_n} \langle \mathbf{j} | q_n \rangle \langle q_n | \mathbf{k} \rangle \right|^2$$

## Diferença

É obtida a partir do operador evolução temporal!



## Eficiência

Nesse caso será analisado quão bem perturbações espalham-se nas redes. A média da probabilidade de retorno aplicada ao limite de  $t \rightarrow \infty$  será utilizada para tratarmos a eficiência. Quanto maior esse valor, menos eficiente a rede é, quanto menor, mais.

### Clássica

$$\bar{p}(t) = \frac{1}{N} \sum_n e^{-\lambda_n t}$$

### Quântica

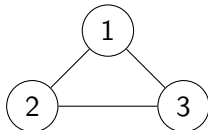
$$\bar{\chi} = \frac{1}{N} \sum_{n,m} \delta_{\lambda_n, \lambda_m} |\langle k | q_n \rangle|^2 |\langle k | q_m \rangle|^2.$$



# Súmary

- 1 Introdução
- 2 Tópicos teóricos
- 3 CTRW - Caminhada aleatória de tempo contínuo
- 4 CTQW - Caminhada quântica em tempo contínuo
- 5 Resultados
  - Rede triangular
  - Probabilidade de retorno - caso clássico
  - Probabilidade de retorno - caso quântico
- 6 Considerações finais
- 7 Bibliografia

## Analiticamente



**Figura:** Rede triangular: três nós, cada nó está ligado a outros dois.

P.r.  
clássica

$$p_{11}(t) = \frac{1}{3} + \frac{2}{3}e^{-3t}.$$

P.r.  
quântica

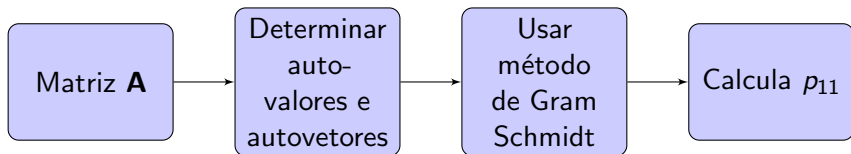
$$\pi_{11}(t) = \frac{5}{9} + \frac{4}{9}\cos(3t).$$

Eficiência

$$\bar{\chi} = \frac{20}{108} \approx 0.18.$$



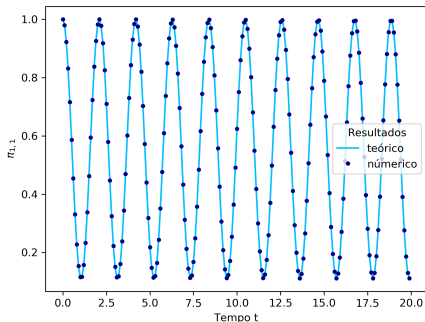
## Numericamente





## Comparação

**Figura:** Probabilidade quântica de retorno na rede triangular.

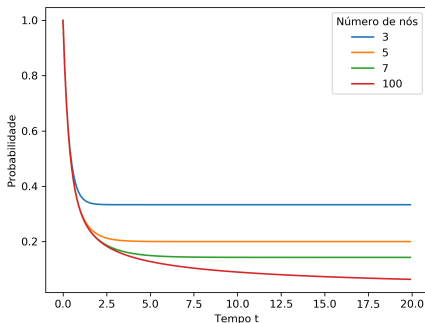


- Não há tendência para um determinado valor.
- A probabilidade muda entre valores extremos.
- Redes com poucos vértices apresentam mais vezes interferências destrutivas ou construtivas.



## Pobabilidade clássica de retorno

**Figura:** Probabilidade clássica de retorno para rede de 3, 5, 7 e 100 vértices.



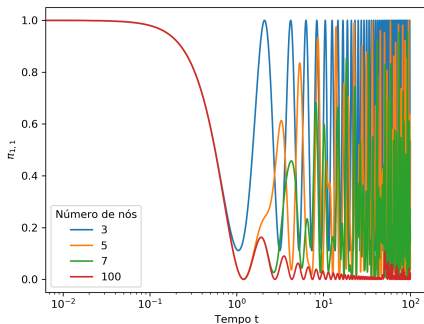
- Com o decorrer do tempo, a probabilidade de retorno tende a um valor específico.
- Pela leitura do gráfico a expressão que descreve essas curvas é  $\frac{1}{N}$ .





## Probabilidade quântica de retorno

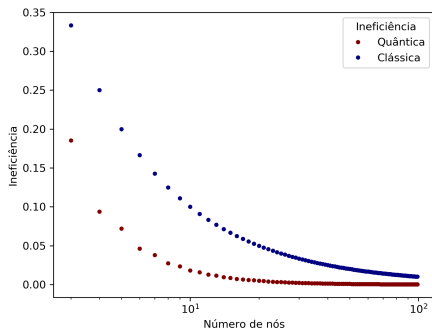
Figura: Probabilidade quântica de retorno.



- Redes maiores do tipo anel apresentam mais espalhamento.
- Ao aumentar o número de vértices nesse tipo de rede, mais semelhante a redes lineares ela fica.



## Eficiência



- A eficiência máxima é dada quando  $\bar{\chi} = 0$
- Quão mais rápido aproxima-se de 0 mais eficiente o espalhamento.

**Figura:** Comparação entre a ineficiência do transporte clássico e quântico.



Introdução

Tópicos teóricos

CTRW - Caminhada aleatória de tempo contínuo

CTQW - Caminhada quântica em tempo contínuo

Resultados

**Considerações finais**

Bibliografia

## Súmario

- 1 Introdução
- 2 Tópicos teóricos
- 3 CTRW - Caminhada aleatória de tempo contínuo
- 4 CTQW - Caminhada quântica em tempo contínuo
- 5 Resultados
- 6 Considerações finais**
- 7 Bibliografia



## Considerações finais

Para investigar o transporte em redes fechadas foram utilizados as grandezas: probabilidade clássica de retorno, probabilidade quântica de retorno e eficiência. Eles foram obtidos analiticamente para o caso de uma rede triangular por razões didáticas. E numericamente para as de 3, 5, 7 e 100 vértices.

A caminhada quântica apresentou ser mais eficiente que a clássica para o caso de redes anéis.

O programa produzido pode ser facilmente reutilizado para outras topologias de rede.




## Súmarrio

- 1 Introdução
- 2 Tópicos teóricos
- 3 CTRW - Caminhada aleatória de tempo contínuo
- 4 CTQW - Caminhada quântica em tempo contínuo
- 5 Resultados
- 6 Considerações finais
- 7 Bibliografia**



## Bibliografia I



 Y. Aharonov, L. Davidovich, and N. Zagury. [Quantum random walks.](#)

*Physical Review A*, 48(2):1687, 1993.



E. Farhi and S. Gutmann.

[Quantum computation and decision trees.](#)

*Physical Review A*, 58(2):915, 1998.



L. K. Grover.

[A fast quantum mechanical algorithm for database search.](#)

*arXiv preprint quant-ph/9605043*, 1996.



## Bibliografia II

 L. K. Grover.

Quantum mechanics helps in searching for a needle in a haystack.

*Physical review letters*, 79(2):325, 1997.

 I. Karatzas and S. E. Shreve.

*Brownian Motion*, chapter movimento browniano, pages 47–127.

Springer New York, New York, NY, 1998.

 C. M. Maciel, W. T. Strunz, and M. Galiceanu.

Quantum transport on modified multilayered spiderwebs.

*Journal of Physics A: Mathematical and Theoretical*,  
51(49):495301, nov 2018.



## Bibliografia III



R. Portugal.

*Quantum walks and search algorithms.*

Springer, 2013.



S. R. Salinas.

*Introdução à Física Estatística.*

EDUSP, 1997.



P. W. Shor.

Algorithms for quantum computation: Discrete logarithms and factoring.

In *Proceedings 35th annual symposium on foundations of computer science*, pages 124–134. IEEE, 1994.





## Bibliografia IV



B. F. Venancio.

Caminhadas quânticas na rede hexagonal.

2016.



## Agradecimentos

É com muito carinho que agradeço a todo amor, cuidado, moradia e financiamento que meus pais ofereceram durante o desenvolvimento deste trabalho e no decorrer da graduação, a minha irmã, ao meu irmão, ao Mircea Galiceanu, ao Bonifácio Lima, ao Emerson Sousa, a Thais Martins, ao Cássio Maciel, a Roberta Lorena, ao Igor Padilha, ao Haroldo Guerreiro, ao Hidembergue Frota, a Débora Costa, a Victória Maia, ao Mateus, Luana, Raul, Noah, Kaio, colegas da sala de iniciação científica, colegas do grupo de pesquisa de redes complexas e professores do departamento de física. Estar motivada para fazer este trabalho é devido a todo esse apoio recebido.